

Econométrie 2

Chapitre 6 : la méthode de régression par discontinuité

ENSAE 2021-2022

Michael Visser

CREST-ENSAE

Introduction

Discontinuité franche

Discontinuité floue

Application

- ▶ Dans ce chapitre nous nous intéressons à l'estimation de l'effet d'une mesure (ou traitement) sur une variable Y .
- ▶ Soit P_i la variable indiquant si l'unité i (individu, ménage, firme, ville, etc.) est traité (dans ce cas $P_i = 1$) ou pas ($P_i = 0$).
- ▶ Nous adoptons le cadre d'analyse introduit par Rubin (voir Econométrie 1) :
 - ▶ Y_i^1 représente la variable expliquée lorsque i reçoit le traitement.
 - ▶ Y_i^0 représente la variable expliquée lorsque i ne reçoit pas le traitement.
- ▶ Y_i^0 et Y_i^1 sont les variables dépendantes contrefactuelles.
- ▶ Elles ne sont pas observées simultanément : $Y_i = Y_i^0$ si $P_i = 0$, ou $Y_i = Y_i^1$ si $P_i = 1$.

- Donc

$$Y_i = P_i Y_i^1 + (1 - P_i) Y_i^0 = Y_i^0 + P_i (Y_i^1 - Y_i^0). \quad (1)$$

- L'effet causal du traitement s'écrit

$$\alpha_i = Y_i^1 - Y_i^0.$$

- L'objectif ici est d'estimer l'effet moyen du traitement.
- La méthode de régression par discontinuité (RD) exploite le fait que l'assignation au traitement est complètement ou partiellement déterminée par une variable continue Z (en anglais : *forcing variable* ou *treatment-determining variable*).
- Par ailleurs, l'éligibilité au traitement est une fonction discontinue (de Z) en z_0 .
- Deux cas de figure peuvent être distingués :

- ▶ On parle de discontinuité franche (*Sharp Regression Discontinuity (SRD)*) lorsque i reçoit le traitement ssi Z_i est supérieur ou égal au seuil z_0 :

$$P_i = 1 \{Z_i \geq z_0\}.$$

- ▶ On parle de discontinuité floue (*Fuzzy Regression Discontinuity (FRD)*) lorsque la probabilité que i reçoive le traitement (conditionnellement à $Z_i = z$), $P(P_i = 1|Z_i = z)$, est discontinue en $z = z_0$.
- ▶ Intuitivement, les unités i proches des deux côtés du seuil z_0 sont similaires \Rightarrow identifier l'effet moyen du traitement en comparant les unités se situant juste au dessous et juste au-dessus du seuil.
- ▶ Exemples :
 - ▶ Effet des grandes écoles sur l'emploi, le revenu, etc. (Z = résultat au concours).
 - ▶ Effet de l'aide financière aux ménages (Z = revenu du ménage).

- ▶ Exemples (suite) :
 - ▶ Elections : impact du sortant sur le vote ($Z = \%$ obtenu à l'élection précédente).
 - ▶ Effet de la taille de classe ($Z =$ nombre d'élèves d'un niveau donné dans l'école, e.g., règle de Maïmonide).
 - ▶ Effet d'une politique publique visant à réduire la pollution de l'air ($Z =$ niveau de pollution).
 - ▶ Effet du montant de l'allocation chômage ($Z =$ durée de chômage).
 - ▶ ... de nombreux autres exemples (voir par exemple Lee et Lemieux (2010)).

Introduction

Discontinuité franche

Discontinuité floue

Application

- Pour identifier l'effet moyen du traitement, il est nécessaire de faire une hypothèse de continuité locale.
- Hypothèse 1 : les espérances conditionnelles $E[Y_i^0|Z_i = z]$ et $E[Y_i^1|Z_i = z]$ sont continues en z .
- Cette hypothèse implique que les unités i juste au-dessous et juste au-dessus du seuil z_0 sont “comparables”.
- En particulier, les moyennes de Y^0 et Y^1 sont similaires dans les deux groupes d'unités.
- Sous cette hypothèse on a

$$\begin{aligned} & \lim_{z \downarrow z_0} E[Y_i|Z_i = z] - \lim_{z \uparrow z_0} E[Y_i|Z_i = z] & (2) \\ = & \lim_{z \downarrow z_0} E[Y_i^1|Z_i = z] - \lim_{z \uparrow z_0} E[Y_i^0|Z_i = z] \\ = & E[Y_i^1|Z_i = z_0] - E[Y_i^0|Z_i = z_0] \\ = & E[Y_i^1 - Y_i^0|Z_i = z_0] \\ = & E[\alpha_i|Z_i = z_0]. \end{aligned}$$

- ▶ Les Figures 1 et 2 illustrent la stratégie d'identification.
- ▶ La Figure 1 montre la probabilité $P(P = 1|Z = z)$ en fonction de z . Cette probabilité vaut 0 pour tout $z < z_0 = 6$, et vaut 1 pour tout $z \geq z_0$.
- ▶ La Figure 2 montre trois espérances conditionnelles. Les deux courbes continues (partiellement en pointillés, partiellement solide) montrent $E[Y^1|Z = z]$ et $E[Y^0|Z = z]$ (la première étant au-dessus de la deuxième).
- ▶ La courbe discontinue (solide) représente $E[Y|Z = z]$. En utilisant (1), on a

$$\begin{aligned} E[Y|Z = z] \\ = E[Y^0|Z = z] + (E[Y^1|Z = z] - E[Y^0|Z = z])P, \end{aligned}$$

indiquant que $E[Y|Z = z]$ est discontinue en z_0 car P est une fonction discontinue en z_0 .

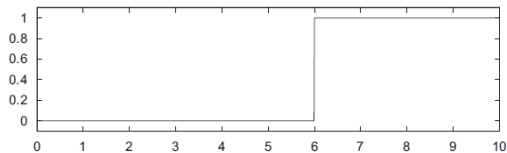


Figure 1 – Assignment du traitement

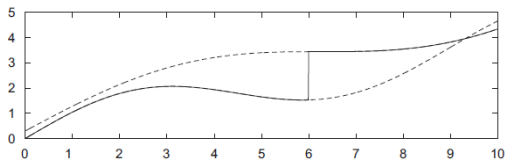


Figure 2 – $E[Y^0|Z = z]$, $E[Y^1|Z = z]$, et $E[Y|Z = z]$

- ▶ D'après (2), $E[\alpha_i|Z_i = z_0] = \lim_{z \downarrow z_0} E[Y_i|Z_i = z] - \lim_{z \uparrow z_0} E[Y_i|Z_i = z]$.
- ▶ Pour estimer l'effet moyen du traitement il suffit donc d'estimer les espérances

$$\mu_l(z_0) \equiv \lim_{z \uparrow z_0} E[Y_i|Z_i = z]$$

et

$$\mu_r(z_0) \equiv \lim_{z \downarrow z_0} E[Y_i|Z_i = z].$$

- ▶ Hahn et al. (2001) proposent d'estimer $\mu_l(z_0)$ et $\mu_r(z_0)$ par une méthode de régression linéaire locale.
- ▶ Soit $K(u)$ une fonction de noyau (la fonction $K(\cdot)$ satisfait donc $\int_{-\infty}^{+\infty} K(u)du = 1$ et $K(u) = K(-u)$ pour tout u) et h une fenêtre.

- On définit

$$(\hat{a}_l, \hat{b}_l) = \underset{a_l, b_l}{\operatorname{argmin}} \sum_{i=1}^n [Y_i - a_l - b_l \cdot (Z_i - z_0)]^2 K\left(\frac{Z_i - z_0}{h}\right) 1\{Z_i < z_0\}$$

et

$$(\hat{a}_r, \hat{b}_r) = \underset{a_r, b_r}{\operatorname{argmin}} \sum_{i=1}^n [Y_i - a_r - b_r \cdot (Z_i - z_0)]^2 K\left(\frac{Z_i - z_0}{h}\right) 1\{Z_i \geq z_0\}.$$

- Les espérances $\mu_l(z_0)$ et $\mu_r(z_0)$ peuvent alors être estimés par

$$\hat{\mu}_l(z_0) = \hat{a}_l \text{ et } \hat{\mu}_r(z_0) = \hat{a}_r.$$

- Dans la pratique on choisit fréquemment $K(u) = \frac{1}{2} 1\{-1 \leq u \leq 1\}$ (noyau rectangulaire) ou $K(u) = \frac{1}{\sqrt{2\pi}} \exp(-u^2/2)$ (noyau Gaussien).

- ▶ L'inférence statistique et le choix optimal de la la fenêtre ne sont pas abordés dans ce cours.
- ▶ L'avantage de la méthode proposée par Hahn et al. (2001) : hypothèses peu restrictives sur le lien entre Y^0 et Z (linéarité locale entre les deux variables).
- ▶ Désavantage : le nombre d'observations n doit être grand pour que l'estimation et l'inférence statistique fonctionnent correctement.
- ▶ Une approche alternative consiste à imposer plus de structure au modèle :
- ▶ Tout d'abord en choisissant une spécification paramétrique (flexible) de $E[Y^0|Z = z]$.
- ▶ Dans la pratique on spécifie souvent cette espérance comme un polynome d'ordre p :

$$E[Y_i^0|Z_i = z_i] = \gamma_0 + \sum_{j=1}^p \beta_{0j} z_i^j$$

- Et donc

$$Y_i^0 = \gamma_0 + \sum_{j=1}^p \beta_{0j} z_i^j + \eta_i \quad (3)$$

où $E[\eta_i | Z_i = z_i] = 0$ par construction.

- Supposons ensuite que l'effet du traitement est constant :
 $Y_i^1 - Y_i^0 = \alpha_0$, pour tout i
- En substituant (3) dans (1) on obtient

$$Y_i = \gamma_0 + \sum_{j=1}^p \beta_{0j} z_i^j + \alpha_0 P_i + \eta_i$$

où $E[\eta_i | Z_i = z_i, P_i] = E[\eta_i | Z_i = z_i] = 0$ (car P_i est une fonction déterministe de Z_i).

- En estimant ce modèle par les MCO on obtient un estimateur convergent des paramètres (en particulier α_0).

Introduction

Discontinuité franche

Discontinuité floue

Application

- Supposons, pour simplifier la preuve d'identification, que $Y_i^1 - Y_i^0 = \alpha_0$. On a alors le résultat d'identification suivant

$$\alpha_0 = \frac{\lim_{z \downarrow z_0} E[Y_i | Z_i = z] - \lim_{z \uparrow z_0} E[Y_i | Z_i = z]}{\lim_{z \downarrow z_0} E[P_i | Z_i = z] - \lim_{z \uparrow z_0} E[P_i | Z_i = z]} \quad (4)$$

- Preuve : en utilisant (1) on a

$$\begin{aligned} E[Y_i | Z_i = z_0 + e] - E[Y_i | Z_i = z_0 - e] \\ = \alpha_0 \{ E[P_i | Z_i = z_0 + e] - E[P_i | Z_i = z_0 - e] \} \\ + \{ E[Y_i^0 | Z_i = z_0 + e] - E[Y_i^0 | Z_i = z_0 - e] \} \end{aligned}$$

où $e > 0$ est un nombre arbitrairement petit.

Grâce à l'hypothèse 1, le second terme entre $\{\}$ tend vers zéro lorsque e tend vers zéro. Donc

$$\begin{aligned} \lim_{z \downarrow z_0} E[Y_i | Z_i = z] - \lim_{z \uparrow z_0} E[Y_i | Z_i = z] \\ = \alpha_0 \left\{ \lim_{z \downarrow z_0} E[P_i | Z_i = z] - \lim_{z \uparrow z_0} E[P_i | Z_i = z] \right\}, \end{aligned}$$

et on obtient alors (4).

- ▶ Les Figures 3 et 4 illustrent la stratégie d'identification.
- ▶ La Figure 3 montre que la probabilité $P(P = 1 | Z = z)$ est discontinue en $z = z_0 = 6$.

- ▶ La Figure 4 montre $E[Y^1|P = 1, Z = z]$ and $E[Y^0|P = 0, Z = z]$ (courbes en pointillés), la première espérance étant au-dessus de la deuxième). Contrairement au cas SRD, ces espérances dépendent de P .
- ▶ La Figure 4 présente également (courbe solide) $E[Y|Z = z]$, où

$$\begin{aligned} E[Y|Z = z] &= E[Y^0|P = 0, Z = z] \cdot Pr(P = 0|Z = z) \\ &\quad + E[Y^1|P = 1, Z = z] \cdot Pr(P = 1|Z = z) \end{aligned}$$

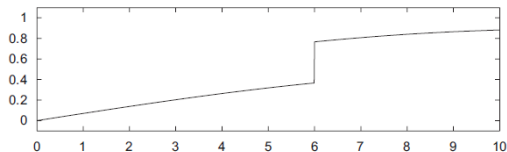


Figure 3 – Probabilité d'être traité

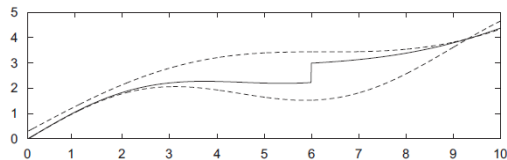


Figure 4 – $E[Y^0|Z = z, P = 0]$, $E[Y^1|Z = z, P = 1]$, et $E[Y|Z = z]$

- ▶ Le traitement moyen α_0 peut être estimé non-paramétriquement en procédant comme dans le cas SRD.
- ▶ En effet, à la fois le numérateur et le dénominateur apparaissant dans (4) peuvent être estimés en utilisant la méthode de régression linéaire locale.
- ▶ Comme précédemment, une approche paramétrique a l'avantage de fonctionner correctement même si la taille de l'échantillon est relativement petite.
- ▶ Supposons, de nouveau, que $E[Y^0|Z = z]$ s'écrit comme un polynôme d'ordre p .
- ▶ La variable Y^0 est donc toujours définie comme dans l'équation (3).

- ▶ En utilisant (1), et le fait que $\alpha_0 = Y_i^1 - Y_i^0$ pour tout i , on obtient comme dans le cas SRD

$$Y_i = \gamma_0 + \sum_{j=1}^p \beta_{0j} z_i^j + \alpha_0 P_i + \eta_i \quad (5)$$

- ▶ Par contre, P_i n'est plus une fonction déterministe de Z_i .
- ▶ Il y a potentiellement des variables inobservées qui déterminent à la fois P et Y , et dans ce cas $E[\eta_i | Z_i = z_i, P_i] \neq 0$.
- ▶ Une variable instrumentale naturelle pour P_i :

$$T_i \equiv 1 \{Z_i \geq z_0\}.$$

- ▶ Les variables T_i et P_i sont positivement corrélées ; Par ailleurs, comme (5) inclut Z, Z^2, \dots, Z^p , il y a vraisemblablement pas de corrélation entre T et $\eta \Rightarrow$ estimation par 2MC.

Introduction

Discontinuité franche

Discontinuité floue

Application

- ▶ Lee et Lemieux (2010) étudient l'avantage du sortant aux élections américaines de la Chambre des représentants.
- ▶ Plus précisément, $P_{it} = 1$ si le parti démocrate a gagné l'élection t dans la circonscription (*district*) i , et $P_{it} = 0$ sinon.
- ▶ Y_{it+1} = % des votes obtenu lors de l'élection $t + 1$ par le candidat démocrate dans la circonscription i .
- ▶ Z_{it} = % des votes obtenu par le candidat démocrate moins % des votes obtenu par le candidat républicain, lors de l'élection t .
- ▶ Dans la plupart des circonscriptions il y a seulement 2 candidats (un démocrate et un républicain) : $P_{it} = 1 \{Z_{it} \geq 0\}$.
- ▶ Objectif : estimer l'effet causal de P_{it} sur Y_{it+1} .
- ▶ Les données portent sur les élections de 1946-1998, et $n = 6558$.

- ▶ L'axe horizontal de la Figure 5 représente Z_{it} et l'axe verticale représente Y_{it+1} .
- ▶ Le support de Z a été divisé en 100 intervalles de largeur 0,01 et chaque point représente la moyenne de Y par intervalle.
- ▶ Le saut en $Z = 0$ suggère que l'effet causal vaut approximativement 0,08.

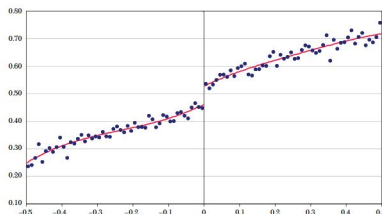


Figure 5 – Z_{it} et Y_{it+1}

- L'effet moyen du traitement, $E[\alpha_i|Z_i = 0]$, est estimé en utilisant la méthode de régression linéaire locale avec un noyau rectangulaire.
- Le tableau ci-dessous donne l'effet moyen estimé, c'est à dire $\hat{\alpha}_r - \hat{\alpha}_l$, et $se(\hat{\alpha}_r - \hat{\alpha}_l)$, pour différentes valeurs de la fenêtre h .
- Les estimations et leurs précisions diminuent lorsque h diminue \Rightarrow arbitrage entre précision et biais.

Table 1 – Estimation de l'effet moyen du traitement

h	1	0,5	0,25	0,1	0,05	0,01
$est.$	0,347	0,257	0,179	0,125	0,096	0,088
(se)	(0,003)	(0,004)	(0,004)	(0,006)	(0,009)	(0,015)
n	6558	4900	2763	1209	610	106

- ▶ L'éligibilité à un traitement est une fonction discontinue (de Z) : potentiellement beaucoup d'applications.
- ▶ Discontinuité franche et discontinuité floue.
- ▶ Estimation par la méthode de régression linéaire locale.

- ▶ Angrist, J. et J.-F. Pischke (2009), *Mostly Harmless Econometrics*, Princeton University Press.
- ▶ Imbens, G. et T. Lemieux (2008), “Regression discontinuity designs : A guide to practice,” *Journal of Econometrics*, 142, 615-635.
- ▶ Lee, D. et Lemieux (2010), “Regression discontinuity designs in economics,” *Journal of Economic Literature*, 48, 281-355.
- ▶ Hahn, J., P. Todd et W. Van der Klaauw (2001), “Identification and estimation of treatment effects with a regression-discontinuity design,” *Econometrica*, 69, 201-209.
- ▶ Van der Klaauw, W. (2008), “Regression-discontinuity analysis : a survey of recent developments in economics,” *Labour*, 22, 219-245.